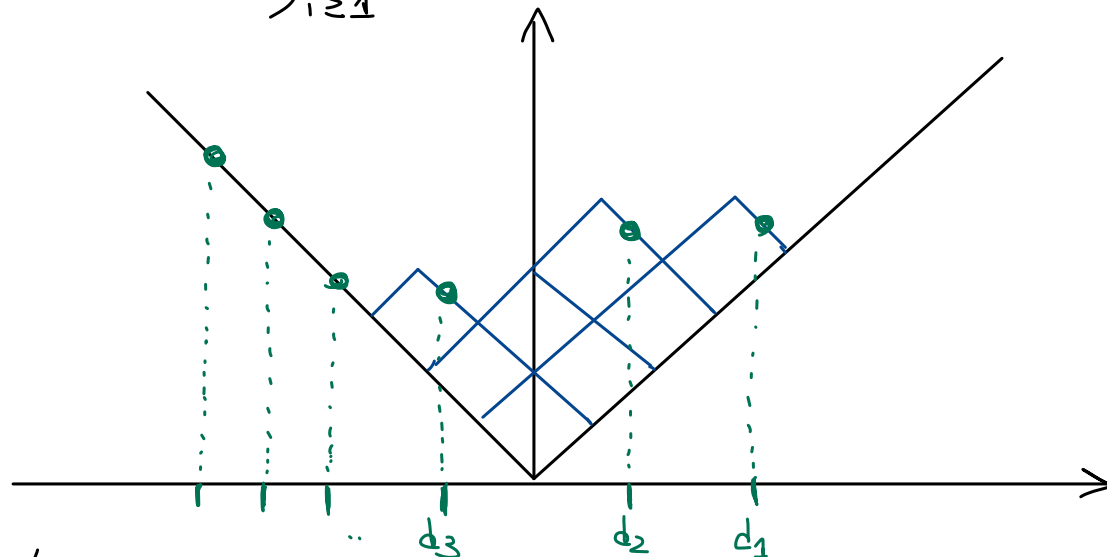


9. Les mesures de Schur

Si $\lambda = (\lambda_1 \geq \lambda_2 \geq \dots \geq \lambda_\ell)$ est une partition d'entiers,
 ses coordonnées de descente sont les demi-entiers de la suite

$$D_\lambda = \left(\lambda_i - i + \frac{1}{2} \right)_{i \geq 1} \quad (\text{avec } \lambda_r = 0 \text{ si } r > \ell).$$



$$D_\lambda \subset \mathbb{Z}' = \mathbb{Z} + \frac{1}{2}.$$

Pour $A = \{a_1, \dots, a_r\} \subset \mathbb{Z}'$, on veut calculer
 $\mathbb{P}[A \subset D_\lambda] = F(a_1, a_2, \dots, a_r)$ avec par exemple
 $\lambda \sim \text{Plancheral}(n)$.

Spoiler : il existe une large classe de modèles de partitions élémentaires

- qui contient (presque) les mesures de Plancheral
- telle que, $\forall A$ partie finie de \mathbb{Z}' ,

$\mathbb{P}[A \subset D_\lambda] = \det(K_{(a_i, a_j)})_{1 \leq i, j \leq r}$
avec K noyau explicite (dépendant du modèle)
 \rightarrow processus ponctuel déterminantal.

1. Interprétation probabiliste de la formule de Cauchy.

$\mathcal{Y} = \bigsqcup_{n \in \mathbb{N}} \mathcal{Y}(n)$ = ensemble de toutes les partitions d'entiers

formule de Cauchy :

$$\prod_{i,j \geq 1} \frac{1}{1-x_i y_j} = \sum_{\lambda \in \mathcal{Y}} s_\lambda(x) s_\lambda(y) = \sum_{\mu \in \mathcal{Y}} p_\mu(x) p_\mu(y)$$
$$= \exp \left(\sum_{k=1}^{\infty} \frac{p_k(x) p_k(y)}{k} \right).$$

C'est une relation entre fonctions symétriques, on peut "oublier" les variables x_i et y_j .

idée : utiliser la formule pour définir des mesures de probabilité sur \mathcal{Y} .

Définition : On appelle spécialisation positive de Sym un morphisme d'algèbres $\Psi : \text{Sym} \rightarrow \mathbb{R}$ tel que $\Psi(s_\lambda) \geq 0 \quad \forall \lambda \in \mathcal{Y}$.

Etant donnés des nombres réels $x_1, x_2, \dots, x_n, \dots$ tels que $\sum_{i \geq 1} |x_i| < +\infty$,

$$\rho_k(x_1, x_2, \dots) = \sum_{i \geq 1} x_i^k \text{ converge thk}$$

et on peut donc définir une spécialisation de Sym en évaluant les fonctions symétriques en ces variables.

On notera $X = \{x_1, x_2, \dots, x_n, \dots\}$ et $\Psi(f) = f(X)$.

Plus généralement, on adoptera cette notation pour toute spécialisation, même si elle ne correspond pas à des nombres réels.

exemple : spécialisation exponentielle E

$$p_1(E) = 1 ; \quad p_{k \geq 2}(E) = 0$$

Comme $\text{Sym} = \langle [p_1, p_2, \dots] \rangle$, il y a une unique spécialisation de Sym avec ces valeurs.

$$\begin{aligned} s_\lambda(E) &= \sum_{|\mu|=|\lambda|} \frac{p_\mu(E)}{\prod_{j \in \mu} j!} \operatorname{ch}^\lambda(\alpha_j) \\ &= \frac{p_{\lambda}(E)}{|\lambda|!} \operatorname{ch}^\lambda(\operatorname{id}) = \frac{\dim \lambda}{|\lambda|!} \end{aligned} \quad \begin{matrix} \text{spécialisation} \\ \text{positive} \end{matrix}.$$

On parle pour les spécialisations $f \in \text{Sym} \mapsto f(x) \in \mathbb{R}$
d'alphabets virtuels.

Définition Soient X, Y deux spécialisations positives de Sym. On suppose $\sum_{k \geq 1} \frac{p_k(X) p_k(Y)}{k}$ convergente.

La mesure de Schur $\$_{X, Y}^{X, Y}$ sur \mathbb{Y} est la mesure de probabilité $\$_{X, Y}[\lambda] = \frac{s_\lambda(X) s_\lambda(Y)}{\exp\left(\sum_{k \geq 1} \frac{p_k(X) p_k(Y)}{k}\right)}$.

exemple : $X = Y = \overline{\text{OE}} E$; $p_1(\overline{\text{OE}} E) = \text{OE}$; $p_{k \geq 2}(\overline{\text{OE}} E) = 0$.

$$s_\lambda(\overline{\text{OE}} E) = \bigodot_{\lambda \vdash} \frac{\dim \lambda}{|\lambda|!}.$$

$$\$_{\overline{\text{OE}}, \overline{\text{OE}}}[\lambda] = \frac{e^{-\text{OE}} \text{OE}^{|\lambda|}}{|\lambda|!} \times \frac{(\dim \lambda)^2}{|\lambda|!}$$

mesure de Plancherel
Poissonisée !

Théorème (Okounkov, ~2000)

Si $\lambda \sim \mathbb{S}_{X,Y}$, il existe un noyau $K_{X,Y}$ explicite tel que

$$P[A \subset D_\lambda] = \det(K_{X,Y}(z_i, z_j))_{1 \leq i, j \leq r}.$$

intérêt : on réduit tout problème asymptotique à l'étude d'une fonction de deux variables.

problème préliminaire : quelles sont les spécialisations positives de Sym^+ ?

2. Le simplexe de Thoma

Autre approche pour définir une probabilité sur $\mathcal{Y}(n)$:
les mesures spectrales .

Étant donné un groupe G , une trace normalisée sur G est une fonction $\tau : G \rightarrow \mathbb{C}$ telle que :

$$1) \quad \tau(e_G) = 1$$

$$2) \quad \tau(gh) = \overline{\tau(hg)}$$

$$3) \quad (\tau(g_i g_j^{-1}))_{1 \leq i, j \leq n} \text{ est hermitienne positive } \forall g_1, \dots, g_n \in G.$$

Proposition : Une trace normalisée sur un groupe fini G est un barycentre des caractères irréductibles χ_λ , $\lambda \in \widehat{G}$.

Preuve : Si τ est une trace normalisée, $\tau \in Z(\mathbb{C}G)$, donc

$$\tau = \sum_{\lambda \in \widehat{G}} p_\lambda \chi^\lambda. \quad \text{Comme } \tau(e_G) = 1, \sum_{\lambda \in \widehat{G}} p_\lambda = 1.$$

$$\bullet \quad T(gh^{-1}) = \sum_{\lambda \in \hat{G}} p_\lambda \chi^\lambda(gh^{-1}) = \sum_{\lambda \in \hat{G}} p_\lambda \overline{\chi^\lambda(hg^{-1})} = \overline{T(hg^{-1})}$$

si les $p_\lambda \in \mathbb{R}$.

Réiproquement, si les matrices $\nabla(g_1, g_2, \dots, g_n)$ sont hermitiennes, alors $T(g) = \overline{T(g^{-1})} \Rightarrow$ les $p_\lambda \in \mathbb{R}$.

$$\bullet \quad \text{Voyons pourquoi la positivité des } p_\lambda \text{ est équivalente à la positivité des matrices.}$$

les $\nabla(g_1, \dots, g_n) \geq 0 \Leftrightarrow \forall a_1, \dots, a_n \in \mathbb{C}, \sum_{i,j=1}^n a_i \overline{a_j} T(g_i, g_j^{-1}) \geq 0$

$$\Leftrightarrow \forall x = \sum_{g \in G} a_g g \in \mathbb{C}G, \sum_{\lambda \in \hat{G}} \frac{p_\lambda}{\dim \lambda} \operatorname{tr}(g^\lambda(x) \bar{g}^\lambda(x)^*) \geq 0$$

On prend $x = \overline{TF^{-1}}$ (la matrice identité dans $\operatorname{End}(V^\lambda)$) $\Rightarrow p_\lambda \geq 0$. □

Si G est un groupe dénombrable (pas forcément fini),

$\overline{\text{Traces}}(G) = \text{convexe compact}$ (\downarrow topologie de la convergence en tout $g \in G$)

$$\det \begin{pmatrix} 1 & \tau(g) \\ \tau(g^{-1}) & 1 \end{pmatrix} = 1 - |\tau(g)|^2 \geq 0, \quad |\tau| \leq 1 \text{ partout.}$$

$$\tau_g = \int \chi(g) \underset{\mathcal{T}}{\mathbb{E}} [\mathrm{d}\chi]. \quad (\text{Krein-Rilman}).$$

Traces extrémales (G)

Lorsque G est fini, $\text{Traces extrémales}(G) = \{ \chi^\lambda, \lambda \in \widehat{G} \}$.

Que se passe-t-il pour $G = \mathcal{S}(\infty)$?

Soit τ une trace normalisée sur $\mathcal{S}(\infty)$.

So restriction $\tau_{|\mathcal{S}(n)}$ est une trace normalisée sur $\mathcal{S}(n)$, donc :

$$\text{th. } \tau_{|\mathcal{S}(n)} = \sum_{\lambda \in \mathcal{Y}(n)} P_{\tau,n}[\lambda] \chi^\lambda.$$

exemple : $\tau = \mathbb{1}_{(\sigma = \text{id}_{\mathbb{N}^*})}$.

Les mesures spectrales $P_{\tau,n}$ sont les mesures de Plancherel $\mathbb{P}\mathcal{L}(n)$.

De façon générale, les mesures spectrales associées à $\tau \in \text{Traces}(\mathcal{F}(\mathfrak{o}))$ donnent des fonctions harmoniques sur \mathcal{Y} :

$$\begin{aligned} \sum_{\lambda \in \mathcal{Y}(n)} \frac{P_{\tau,n}[\lambda]}{\dim \lambda} \ ch^\lambda &= \tau_{|\mathcal{S}(n)} = (\tau_{|\mathcal{S}(n+1)})|_{\mathcal{S}(n)} \\ &= \sum_{\Lambda \in \mathcal{Y}(n+1)} \frac{P_{\tau,n+1}[\Lambda]}{\dim \Lambda} \ ch^\Lambda |_{\mathcal{S}(n)}. \end{aligned}$$

On sait (règle de Pieri) que

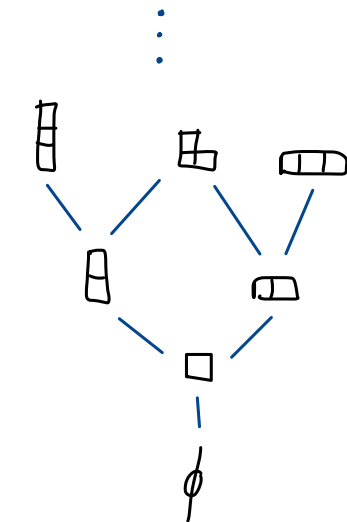
$$\overline{\text{Ind}}_{\mathfrak{S}(n)}^{\mathfrak{S}(n+1)}(V^\lambda) = \bigoplus_{\Delta : \lambda \uparrow \Delta} V^\Delta.$$

On peut montrer (réciprocité de Frobenius) :

$$\text{Res}_{\mathfrak{S}(n)}^{\mathfrak{S}(n+1)}(V^\Delta) = \bigoplus_{\lambda : \lambda \uparrow \Delta} V^\lambda.$$

Donc : $\forall \tau \in \text{Traces}(\mathfrak{S}(\infty))$,

$$\frac{P_{n, \tau}[\lambda]}{\dim \lambda} = \sum_{\Delta : \lambda \uparrow \Delta} \frac{P_{n+1, \tau}[\Delta]}{\dim \Delta}$$



(propriété d'harmonicité).

Quelles sont les mesures spectrales / fonctions harmoniques correspondant aux traces extrémales de $\mathfrak{S}(\infty)$?

$$\text{Notons } s_\lambda(X_\tau) = \frac{\mathbb{P}_{n,\tau}[\lambda]}{\dim \lambda}.$$

$$\text{On a } s_1(X_\tau) = 1.$$

$$s_\lambda(X_\tau) = s_\lambda(X_\tau) s_1(X_\tau) = \sum_{\Delta: \lambda \uparrow \Delta} s_\Delta(X_\tau).$$

On a donc une forme linéaire

$$\begin{aligned} \text{Sym} &\longrightarrow \mathbb{C} \\ s_\lambda &\longmapsto \frac{\mathbb{P}_{n,\tau}[\lambda]}{\dim \lambda} \end{aligned}$$

positive en toute fonction de Schw.

Théorème (Kerov, Vershik)

τ est extrémalessi X_τ est une spécification positive.
morphisme d'algèbres! \Leftarrow

Traces ($\zeta(\omega)$) \longleftrightarrow fonctions harmoniques positives normalisées

Traces extrémales ($\zeta(\omega)$) \longleftrightarrow spécifications positives avec $s_1(X) = 1$.

On peut alors calculer $\tau(\sigma_{\bar{\nu}})$ si $\sigma_{\bar{\nu}}$ = permutation avec $m_2(\bar{\nu})$ 2-cycles
 \vdots
 $m_s(\bar{\nu})$ s-cycles

$$\tau(\sigma_{\bar{\nu}}) = \sum_{\lambda \in \mathcal{Y}(n)} \frac{P_{n,\tau}[\lambda]}{\dim \lambda} \operatorname{ch}^\lambda(\sigma_{\bar{\nu}}) \quad \text{pour } n = |\bar{\nu}| \\ \sigma_{\bar{\nu}} \in \mathcal{S}^{\bar{\nu}}(n)$$

$$= \sum_{\lambda \in \mathcal{Y}(n)} s_\lambda(X_\tau) \operatorname{ch}^\lambda(\sigma_{\bar{\nu}}) = p_{\bar{\nu}}(X_\tau).$$

$\rightarrow \tau$ se factorise sur les cycles disjoints. $(p_{\bar{\nu}}(X_\tau) = 1)$.

Ceci ne nous dit pas ce que sont les spécialisations positives (normalisées) ...

Lemme : Soit X, Y deux spécialisations ≥ 0 .

$X+Y$ la spécialisation telle que $p_k(X+Y) = p_k(X) + \frac{p_k(Y)}{k}$.
 $\forall k \geq 1$.

$X+Y$ est une spécialisation ≥ 0 .

Preuve :

$X \geq 0 \iff$ Dans Sym_Z ,

$$[s_\lambda(z)] \left(\sum_{\lambda} \underbrace{s_\lambda(x)}_{\in \mathbb{C}} s_\lambda(z) \right) \geq 0 \quad \forall \lambda \in \mathcal{Y}$$

\iff Dans Sym_Z' ,

$$[s_\lambda(z)] \left(\exp \left(\sum_{k=1}^{\infty} \frac{p_k(x)}{k} - p_k(z) \right) \right) \geq 0 \quad \forall \lambda \in \mathcal{Y}.$$

Notons $t_k^X = \frac{pk(X)}{k}$, $t_k^Y = \frac{pk(Y)}{k}$ (paramètres de Niwa)

Par hypothèse,

$\exp\left(\sum_{k \geq 1}^{\infty} t_k^X pk(z)\right)$ et $\exp\left(\sum_{k \geq 1}^{\infty} t_k^Y pk(z)\right)$ sont Schur positives dans Sym_Z .

Il suffit donc de montrer qu'un produit de fonctions de Schur est une combinaison linéaire positive de fonctions de Schur.

Preis:

$$\begin{aligned} s_\lambda(z) \times s_\varphi(z) &= \Psi_{FS}^{-1} (\Psi_{FS}(s_\lambda) \times \Psi_{FS}(s_\varphi)) \\ &= \Psi_{FS}^{-1} \left(\text{Ind}_{\mathfrak{S}(n) \times \mathfrak{S}(m)}^{\mathfrak{S}(n+m)} (V_\lambda \otimes V_\varphi) \right) \end{aligned}$$

représentation = combinaison positive! \hookleftarrow □.

exemple 1

Soient $x_1, x_2, \dots, x_n, \dots \geq 0$ avec $\sum_{n=1}^{\infty} x_n < +\infty$.

On considère la spécification associée à l'évolution des fonctions symétriques en ces valeurs. On peut supposer $x_1 \geq x_2 \geq \dots \geq x_n \dots \geq 0$.

C'est une spécification positive !

$$X = \lim_{n \rightarrow +\infty} X_n = \{x_1, \dots, x_n\} = \{x_1\} + \{x_2\} + \dots + \{x_n\}$$

$$\text{et si } x \geq 0, \text{ alors } \sum_{\lambda} s_{\lambda}(z) s_{\lambda}(\{x\}) = \exp \left(\sum_{k=1}^{\infty} p_k(z) \frac{x^k}{k} \right)$$

$$= \sum_{\nu} \frac{p_{\nu}(z)}{z^{\nu}} x^{\nu}$$

$$= \sum_{n=0}^{\infty} s_{(n)}(z) x^n$$

Donc, $s_\lambda(\{ \} \times \{ \}) = \begin{cases} x^n & \text{si } \lambda = (n) \\ 0 & \text{si } \lambda \geq \text{ plusieurs parts} \end{cases} \geq 0.$

exemple 2 Soient $y_1 \geq y_2 \geq \dots \geq y_n \geq \dots \geq 0$.

$$p_k(\bar{Y}) = (-1)^{k-1} \sum (y_i)^k.$$

C'est une spécialisation positive ! De nouveau, il suffit de le montrer pour $Y = \{y\}$. $p_k(\bar{Y}) = (-1)^{k-1} y^k$

$$\text{Or, } \sum_{\lambda} s_{\lambda}(z) s_{\lambda}(\bar{Y}) = \exp \left(\sum_{k=1}^{\infty} \frac{p_k(z)}{k} (-1)^{k-1} y^k \right)$$

$$\begin{aligned} z = \{z_1, z_2, \dots\} &\quad \xrightarrow{=} \exp \left(\sum_{i=1}^{\infty} \log(1 + z_i y) \right) \\ &= \prod_{i=1}^{\infty} 1 + z_i y = \sum_{n=0}^{\infty} e_n(z) y^n. \end{aligned}$$

La fonction élémentaire e_n est-elle une fonction de Schur ? Oui !

$$e_n = s_{(1^n)}.$$

$$s_{(1^n)}(x_1 \dots x_n) = \frac{\det(x_i^{n+1-j})_{ij}}{\det(x_i^{n-j})_{ij}} = e_n(x_1, x_2, \dots, x_n).$$

Donc, $\sum_\lambda s_\lambda(z) s_\lambda(\bar{y})$ est Schur positive $\Leftrightarrow s_\lambda(\bar{y})$ est une spécification positive.

exemple 3 spécification "exponentielle" $p_k(E) = \mathbb{1}_{(k=1)}$.

Définition Le simplexe de Thoma est l'ensemble

$$\Upsilon = \left\{ ((\alpha_1, \alpha_2, \dots, \alpha_i, \dots), (\beta_1, \beta_2, \dots, \beta_i, \dots)) \mid \begin{array}{l} \text{deux suites décroissantes} \\ \text{de réels positifs avec} \\ \sum_{i=1}^{\infty} \alpha_i + \beta_i = 1 - \gamma \leq 1 \end{array} \right\}$$

À tout élément $(\alpha, \beta) \in T$, on peut associer une spécialisation positive normalisée :

$$\begin{aligned} p_k(\alpha, \beta) &= p_k(\alpha) + p_k(\overline{\beta}) + p_k(\gamma_E) \\ &= \begin{cases} 1 & \text{si } k = 1 \\ \sum_{i \geq 1} (\alpha_i)^k + (-1)^{k-1} (\beta_i)^k & \text{si } k \geq 2. \end{cases} \end{aligned}$$

Théorème (Edrei, 51 ; Thoma, 64 ; Kerov-Vershik, 81)

Ce sont toutes les spécialisations positives normalisées de Sym

↑
Traces extrémales ($\mathcal{T}(\omega)$) .

Si X est une spécification positive, on peut en créer une normalisée X_{norm} en posant $p_k(X_{\text{norm}}) = \frac{p_k(X)}{(p_1(X))^k}$.

Les spécifications positives de Sym sont donc paramétrées par les triplets

$$(\alpha_1 \geq \alpha_2 \geq \dots \geq \alpha_i \geq \dots \geq 0), (\beta_1 \geq \beta_2 \geq \dots \geq 0), (\gamma \geq 0).$$

$$p_k(X) = \begin{cases} \sum_{i=1}^{\infty} \alpha_i + \sum_{i=1}^k \beta_i + \gamma & \text{si } k=1 \\ \sum_{i=1}^{\infty} (\alpha_i)^k + (-1)^{k-1} \sum_{i=1}^{\infty} (\beta_i)^k & \text{si } k \geq 2. \end{cases}$$

remarque : c'est lié à la géométrie fléchée de $\lambda \sim P_{T,n}$...

3. La formule d'Okounkov

Fixons X, Y deux spécifications positives de paramètres de Flory
 $(t_k^X)_{k \geq 1}$ et $(t_k^Y)_{k \geq 1}$.

En utilisant la théorie des représentations de $\mathfrak{sl}(\infty)$
 \Leftrightarrow la correspondance Boson - fermion en mécanique quantique,
Okounkov a établi.

$$\$_{X,Y} [ACD_\lambda] = \det (K_{X,Y}(a_i, a_j))_{1 \leq i, j \leq r}$$

$$\forall A = \{a_1, a_2, \dots, a_r\} \subset \mathbb{Z}'$$

avec $K_{X,Y}$ qu'on peut exprimer comme suit.

$$\mathcal{K}_{X,Y}(z,w) = \sum_{\substack{x \in Z' \\ y \in Z'}} K_{X,Y}(x,y) z^x w^{-y}, \quad |z| > |w|. \\ = \frac{\sqrt{zw}}{z-w} \exp \left(\sum_{k=1}^{\infty} t_k^X (z^k - w^k) - t_k^Y (z^{-k} - w^{-k}) \right)$$

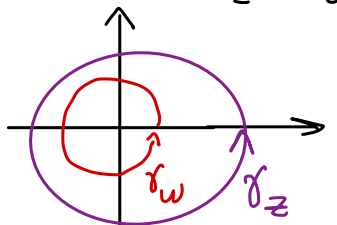
Voyons ce que dit la formule lorsque $X = Y = \sqrt{\theta} E$.

$$t_k^X = t_k^Y = \frac{1}{(k-1)!} \sqrt{\theta}.$$

$$\mathcal{K}_{X,Y}(z,w) = \frac{\sqrt{zw}}{z-w} \exp \left(\sqrt{\theta} ((z-z^{-1}) - (w-w^{-1})) \right)$$

On récupère le noyau par une double intégrale de contour :

$$K_{X,Y}(x,y) = \oint \oint \frac{1}{(z-w)\sqrt{zw}} \exp\left(\sqrt{\theta}(z-z^{-1}w+w^{-1})\right) z^{-x} w^y \frac{dz dw}{(2i\pi)^2}$$



Avancée majeure en probabilités 1990 - 2020 :

- description des corrélations entre les points d'un processus ponctuel par des formules (semi) explicites type intégrale de contour (multiple)
- analyse asymptotique de ces formules : standard, résultats universels.

4. Analyse asymptotique dans le bulk

Notons $M_0 = \text{ coordonnées de descente de } \lambda \sim \text{PPL}(\theta)$

$$M_0^{x_0} = M_0 - x_0 \sqrt{\theta} \quad (\text{translation}).$$

avec $x_0 \in (-2, 2)$.

Comprendre le processus déterminant $M_0^{x_0}$ transféré
 \iff comprendre le comportement d'une partition fléchie
sous la mesure de Plancheral $\text{PPL}(\theta)$, dans le voisinage
du point $x_0 \sqrt{\theta}$.

$$K_0^{x_0}(x, y) = K_0\left(x + x_0 \sqrt{\theta}, y + x_0 \sqrt{\theta}\right) \quad (\text{avec } x_0 \sqrt{\theta} \in \mathbb{Z})$$

Théorème (Borodin - Okounkov - Olshanski, 2000) :

$$\lim_{\theta \rightarrow +\infty} K_\theta^{x_0}(x, y) = \frac{\sin(\phi_0(x-y))}{\pi(x-y)} \text{ avec } \phi_0 = \arccos\left(\frac{x_0}{2}\right).$$

noyau sinus discret.

Interprétation : dans le voisinage de $x_0\sqrt{\theta}$, les descentes sont réparties suivant un processus déterminantal invariant par translation, quasiment indépendant de x_0 .

En particulier, $\lim_{\theta \rightarrow +\infty} K_\theta^{x_0}(x, x) = \frac{1}{\pi} \arccos\left(\frac{x_0}{2}\right)$ = densité moyenne des descentes autour de $x_0\sqrt{\theta}$.

→ la forme limite Ω pour dérivée

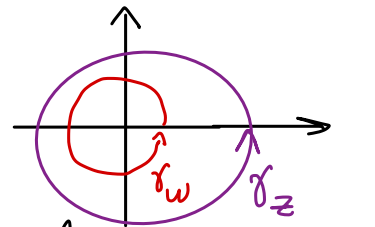
$$\Omega'(x_0) = 1 - \frac{2}{\pi} \arccos \frac{x_0}{2} = \frac{2}{\pi} \arcsin \left(\frac{x_0}{2} \right)$$

~~~~~ on retrouve la courbe LSKV.

La preuve du théorème repose sur l'étude de l'intégrale de contour :

$$K_O^{x_0}(x, y) = \oint_{\gamma_z} \oint_{\gamma_w} \frac{1}{(z-w)\sqrt{zw}} \exp(\sqrt{\Theta} \left( F(z, x_0 + \frac{x}{\sqrt{\Theta}}) - F(w, x_0 + \frac{y}{\sqrt{\Theta}}) \right)) \frac{dz dw}{(2\pi)^2}$$

$$\text{avec } F(z, t) = z - z^{-1} + \log z;$$



Considérons dans un premier temps une intégrale de contour double

$$I = \iint_{\gamma_z \gamma_w} g(z, w) \exp \left( \sqrt{\Theta} \left( F(z, x_0 + \underbrace{\frac{x}{\sqrt{\Theta}}}_{x_0}) - F(w, x_0 + \underbrace{\frac{y}{\sqrt{\Theta}}}_{y_0}) \right) \right) \frac{dz dw}{(2\pi)^2}$$

avec  $\gamma_w$  = cercle de rayon  $1-\epsilon$ ,  $\gamma_z$  = cercle de rayon 1 .  
 $g(z, w)$  holomorphe dans un voisinage de ces cercles .

On calcule les points critiques de  $F(z, y_0)$  :

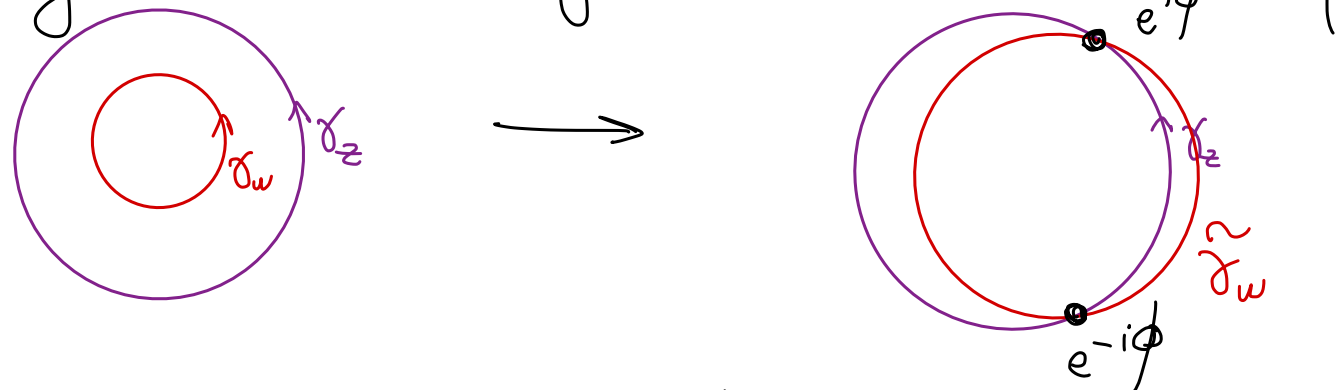
$$\frac{\partial F}{\partial z}(z, y_0) = 1 + z^{-2} - \frac{y_0}{z} ; \quad \frac{\partial F}{\partial z} = 0 \iff z^2 - y_0 z + 1 = 0 \\ z = \frac{y_0 \pm i \sqrt{4-y_0^2}}{2} = e^{\pm i \phi}$$

en posant  $y_0 = 2 \cos \phi$  ( $\phi$  proche de  $\phi_0$ ) .

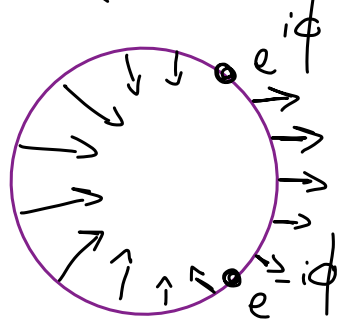
Au voisinage du point critique  $e^{i\phi}$  :

$$F(w, y_0) \cong F(e^{i\phi}, y_0) + \frac{1}{2} F''(e^{i\phi}, y_0) (w - e^{i\phi})^2 \\ \cong 2i(\sin \phi - \phi \cos \phi) + i \sin \phi \left( \frac{w}{e^{i\phi}} - 1 \right)^2 .$$

On déforme  $\gamma_w$  pour le faire passer par les points critiques :



On peut calculer  $(\nabla \operatorname{Re} F(\cdot, y_0))(e^{i\psi}) = 2(\cos \psi - \cos 0) u_\psi$ .



$\Rightarrow \operatorname{Re} F(\cdot, y_0)$  strictement positive sur  $\tilde{\gamma}_w$  ! (sauf aux points critiques).

Alors :

$$I = \iint_{\mathcal{D}_z \times \mathcal{D}_w} \frac{g(z, w)}{\text{borné}} \exp \left( \sqrt{\theta} \cdot \left( F(z, x_0) - F(w, y_0) \right) \right) \frac{dz dw}{(2\pi)^2}$$

↓  
la partie réelle s'annule  
sur  $\mathcal{D}_z$

$$|I| \leq C_1 \cdot \int e^{-\sqrt{\theta} G_s^2} ds = O(\theta^{-1}).$$

→ 0 lorsque  $\theta \rightarrow +\infty$ .

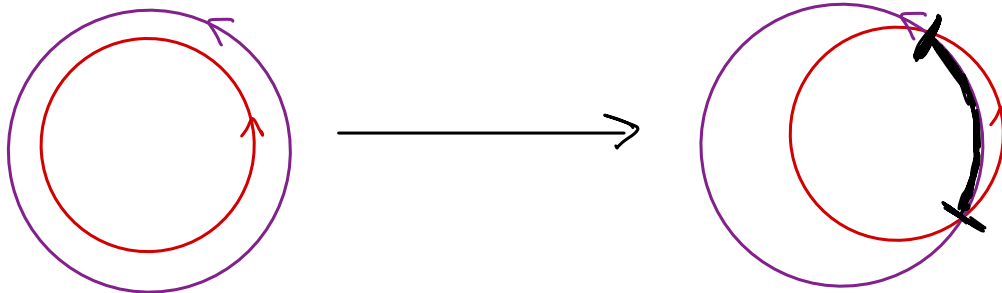
partie réelle négative,  
la contribution principale  
est donnée par le voisinage  
des points critiques.

Ce n'est pas ce qui se passe avec  $\lim_{\theta \rightarrow +\infty} K_\theta^{x_0}(x, y)$ , car

$$g(z, w) = \frac{1}{z-w \sqrt{zw}}$$

à des singularités.

Solution : on récupère un résidu lorsque  $\gamma_w$  vient croiser  $\gamma_z$ .



Ce résidu vaut (prendre  $z = w$ , enlever la singularité  $\frac{1}{z-w}$ ) :

$$\frac{1}{(2\pi i)z} \exp\left(\sqrt{\theta}\left(F(z, x_0 + \frac{y}{\sqrt{\theta}}) - F(z, x_0 + \frac{y}{-\sqrt{\theta}})\right)\right)$$

$$= \frac{1}{2i\pi z^{x-y+1}}$$

Donc :  $\lim_{\theta \rightarrow +\infty} K_0^{x_0}(x, y) = \frac{1}{2i\pi} \int_{e^{-i\phi}}^{e^{i\phi}} \frac{dz}{z^{x-y+1}} = \text{noyau sinus.}$

## 5. Analyse asymptotique au bord

Si  $x_0 = 2\sqrt{0}$ , on peut étudier

$$\lim_{0 \rightarrow +\infty} 0^{1/6} K_0(x_0 + 0^{1/6}x, x_0 + 0^{1/6}y).$$

Définition: le processus d'Airy est le processus ponctuel  $M \subset \mathbb{R}$   
 tel que, pour toutes parties mesurables bornées  $A_1, A_2 \dots A_r \subset \mathbb{R}$ ,

$$E \left[ \sum_{\substack{x_1 \in A_1, \dots, x_r \in A_r \\ x_1 + x_2 + \dots + x_r \in \Gamma}} 1_{(x_1 \in A_1, \dots, x_r \in A_r)} \right] = \int_{A_1 \times \dots \times A_r} \det(K^{\text{Airy}}(x_i, x_j))_{1 \leq i, j \leq r} dx_1 \dots dx_r$$

$$\text{avec } K^{\text{Airy}}(x, y) = \frac{Ai(x) Ai'(y) - Ai'(x) Ai(y)}{x - y}$$

$$Ai(x) = \int e^{\left(xy - \frac{1}{3}y^3\right)} \frac{dy}{2i\pi}$$

Fonction d'Airy .

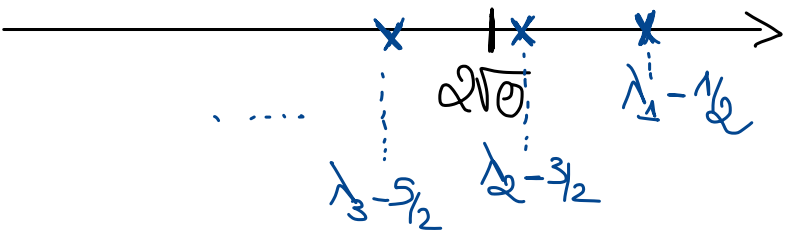
(processus ponctuel déterminant sur  $\mathbb{R}$ ).

Théorème ( Borodin - Okounkov - Olshanski )

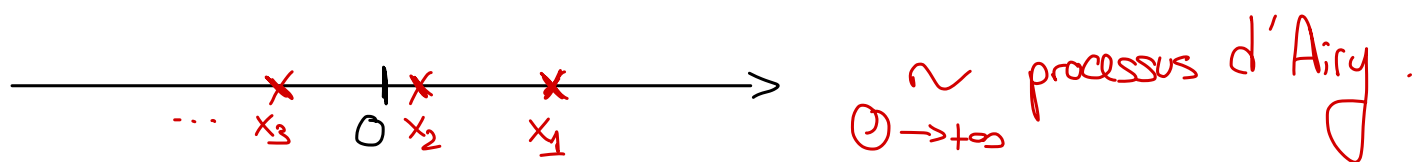
$$\lim \Theta^{1/6} K_0(2\sqrt{\Theta} + \Theta^{1/6}x, 2\sqrt{\Theta} + \Theta^{1/6}y) = K_{\text{Airy}}(x, y).$$

→ convergence du processus des descentes renormalisé autour de  $2\sqrt{\Theta}$  vers le processus d'Airy .

preuve : de nouveau, analyse de l'intégrale de contour ; point critique double .



↓ translation par  $-2\sqrt{\theta}$ , renormalisation par  $\theta^{-1/6}$



Ceci implique la convergence en loi des  
 $x_i = (\lambda_i - 2\sqrt{\theta}) \theta^{-1/6}, \quad i \geq 1$

$\lambda_1 = 2\sqrt{\theta} + \theta^{1/6} TW \leftarrow$  loi de Tracy-Widom .

## Correspondance partitions d'étoiles ↔ matrices d'étoiles

Soit  $H_N$  une matrice de taille  $N \times N$

$$H_N(i,i) \sim N_{\mathbb{R}}(0, 1) ; \quad H_N(i,j) = \overline{H_N(j,i)} = N_{\mathbb{R}}(0, \frac{1}{2}) + i N_{\mathbb{R}}(0, \frac{1}{2}).$$

$y_1 \geq y_2 \geq \dots \geq y_N$  les valeurs propres réelles (d'étoiles) de  $H_N$ .

$$x_i = (y_i - 2\sqrt{N}) N^{1/6} \quad ; \quad y_i = 2\sqrt{N} + x_i N^{-1/6}$$

Théorème Lorsque  $N \rightarrow +\infty$ ,  $(x_i)_{i \geq 1} \longrightarrow$  processus d'Airy !

Les plus grandes valeurs propres d'une matrice hermitienne gaussienne ont donc la même asymptotique que les plus grands parts d'une partition d'étoile sous la mesure de Plancherel.